

一组新的氟原子激光谱线

梁培辉 王福敦 雷仕湛 张国轩 赵梅村

(中国科学院上海光机所)

1970年, M. A. Kovace 和 C. J. Ultee 获得中性氟原子激光谱线^[2~6], 这些中性氟原子激光的发射波长都大于 6900 埃。本文报导了我们于 1977 年 5 月份实验中观察到的一组新的氟原子激光谱线, 其波长分别为 6239.7 埃、6348.5 埃及 6413.6 埃。

我们的实验是采用布鲁林型快放电装置, 其结构与典型的氮分子激光器相似, 电路如图 1 所示。

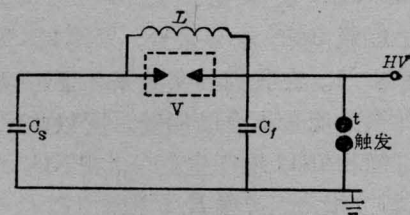


图 1 实验装置线路图

L —充电电感; C_s —储能电容; C_f —形成网络电容; V —激光器件; t —外触发球隙

器件 V 是附有熔石英布儒斯特窗的放电室, 体积 $55 \times 3.8 \times 2.5$ 厘米³, 上、下盖板是窗用玻璃, 侧壁为楔形电极尖端 $R \sim 2$ 毫米。电极间隔为 1.9 厘米, 储能电容 C_s 约

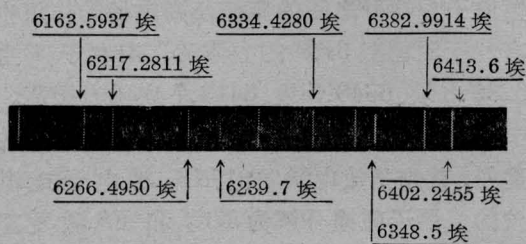


图 2 光谱线照片

短的是新观察到的激光谱线。
长的是作为标准的氖灯谱线。

0.013 微法, 脉冲形成电容 C_f 约为 0.003 微法, 交联充电电感 $L < 1$ 微亨, 充电电压从 0~25 千伏连续可调。

实验中采用近半共焦腔, 后腔板为 $R = 3$ 米的镀铝全反射镜, 前腔板是 $R = \infty$ 的石英平板(不涂膜), 它们之间的间隔 1.4 米。每次实验将器件用油扩散泵排气至 10^{-4} 托左右, 然后充以经过精馏的 NF_3 1.5 托、纯氮 150 托。用上海光学仪器厂生产的 8 埃/毫米的 31WI 型 1 米平面光栅光谱仪拍摄激光光谱和标准 Ne 灯光谱, 如图 2 所示。其中长的谱线是标准 Ne 灯光谱; 而短的是激光光谱。用内插法鉴定其波长分别为 6239.7 埃, 6348.5 埃, 6413.6 埃。测量误差不大于 ± 0.3 埃。根据 C. E. Moore 的原子能级表^[7], 它们分别归属于中性氟原子的 $3p^4S \sim 3s^4P$ 中的三个跃迁, 分列于表中。在我们实验中观察到的全部氟原子激光表示在氟原子能级图 3 中。其中 7129 埃、7037 埃、7311 埃以前已经有报导。

跃迁波长和激光观察对照表

跃迁组合	激光观察值	能级表波长值	强度
$3p^4S_{3/2} \sim 3s^4P_{5/2}$	6239.7埃 ± 0.3 埃	6239.686埃	中等
$3p^4S_{3/2} \sim 3s^4P_{3/2}$	6348.5埃 ± 0.3 埃	6348.548埃	最强
$3p^4S_{3/2} \sim 3s^4P_{1/2}$	6413.6埃 ± 0.3 埃	6413.697埃	最弱

对此组激光进行了初步观测, 发现其对腔的作用及放电参数选择是较为敏感的; 在低 E/P 值时(30 伏/厘米·托左右), 腔的作用很明显, 有后腔板就有激光, 没有后腔板就

没有激光。在 $E/P \sim 43$ 伏/厘米-托情况下用半带宽 150 埃、中心波长 6380 埃的滤光片滤去杂光,再用焦距 $f=1$ 米的薄透镜聚焦测定其发散角在放电方向上小于 6 毫弧度,垂直于放电方向小于 5 毫弧度。在透镜焦平面上摄取的光场图如图 4。其中图 4(a)是无后腔板时的光场分布照片。图 4(b)是有后腔板时的光场分布照片。

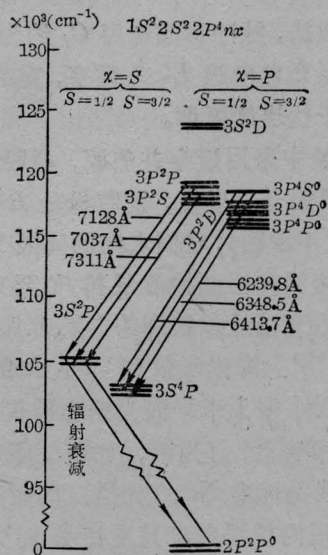
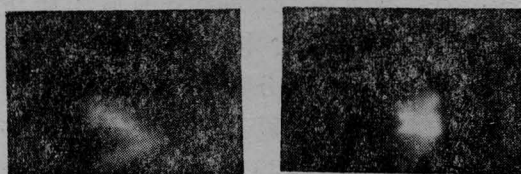


图 3 与实验有关的氟原子能级图



(a) (b)

图 4 焦平面上的光场分布图

透镜焦距 $f=1$ 米。其中(a)无后腔镜
(b)有后腔镜的激光光场图, $R=3$ 米

如果增加 E/P 值,能够使此组激光跃迁变为超辐射。

这组激光随着放电重复率的提高而强度下降。我们的实验中常用五秒钟放电一次,如果每秒钟放电五次强度就下降。同时也随放电脉冲总数增加而下降:随着放电脉冲总次数增加首先消失的是 6413.6 埃激光线,其次是 6239.7 埃,最后放电超过一百次,6348.5

埃也消失。与此相应的是,6348.5 埃激光的放电泵浦阈值低,而 6413.6 埃激光的放电泵浦阈值最高。

另外这组激光有明显的器壁效应:在电极表面附近有较强的激光,光强分布中可以看到明显的电极投影,如图 4 所示。用改变腔反射镜反射率的方法可以看到此组激光的能量和 7311 埃强度有耦合。当降低腔板反射率时,此组激光的强度下降,与此同时 7311 埃强度就增加,反之亦然。

上述现象与我们确认的氟原子跃迁组态的特征是协调的。 $3p^4S \sim 3s^4P$ 跃迁的下能级 $3s^4P$ 和基态 $2p^5 \ ^2P_{3/2}$ 属于光学禁戒 ($\Delta S=0$), $3s^4P$ 能级寿命比较长,容易产生自终止现象,所以重复率不宜过高。下能级主要靠碰撞猝灭,因此增益的空间分布不均匀,有明显的器壁效应。这组激光跃迁的上能级 $3p^4S^0$ 和 7311 埃激光跃迁 ($3p^2S \sim 3s^2P$) 组态的上能级 $3p^2S$ 十分接近,只差 23 个波数 (23 厘米^{-1})。在我们的实验条件下可以示为一对共振的能量耦合的能级。所以此组激光就有可能和 7311 埃产生竞争。在 $\text{NF}_3:\text{He}$ 为 1.5:120 的比例下,用 E/P 值为 112 伏/厘米·托放电参数激发,总气压小于 65 托就看不到这组激光光谱线,而总气压高达 240 托仍有此组激光输出。这可能是由于在较高气压下 7311 埃激光的下能级 $3s^2P$ 和基态 $2p^2P^0$ 要产生 950 埃的光子共振俘获,阻塞 7311 埃激光的下能级,从而增加 $3p^4S^0 \sim 3s^4P$ 跃迁的几率。另外,高气压下氟原子和气体分子、氟原子和器壁之间的碰撞及高电场的作用也有利于亚稳态 $3s^4P$ 的去激活,有利于产生 6239.8 埃、6348.5 埃、6413.7 埃激光振荡。

$3p^4S^0$ 能级粒子数的累积有几种可能的途径,首先是放电激发时 NF_3 被电子或激发的氮原子碰撞分解为 NF_2 和 F^* 激发态氟原子,或直接进入 $3p^4S$ 态,或进入更高的氟原子激发能级,由串级跃迁再进入 $3p^4S$ 态,或进入 $3p^2S^0$ 再由共振转移进入 $3p^4S$

态。另一种可能途径是放电时形成 HeF, 而 HeF 分解时形成激发氟原子, 再由前述途径进入 $3P^4$ 态, 从而形成粒子数反转。

此组激光, 尤其是 6348.5 埃可以用于泵浦红外染料, 也可以作为进行喇曼光谱研究的强激发光源。如果采用最佳气体比及总压、最佳放电参量, 进一步采用流动和掺杂技术, 不仅可能提高功率而且也可能提高重复率。这组激光有 13% 的量子效率, 成为一种在可见波段中比较实用的高功率激光器件是颇有希望的。

参 考 资 料

- [1] M. A. Kovace, C. J. Ultee; *A. P. L.*, **17**, p. 39~40(1970).
- [2] W. O. Teffere, C. E. Wiewall; *A. P. L.*, **17**, p. 444. (1970).
- [3] A. E. Florin, R. J. Teneen; *IEEE. J. Quantum Electronic*, **Q-E7**, p. 472(1971)
- [4] D. G. Sutton, L. Galuan, P. R. Valonzuela; *IEEE. J. Quantum Electronic*, **Q-E11**, p.54 (1975).
- [5] I. J. Bigio, R. F. Begleg; *A. P. L.*, **23**, No. 5, p. 263(1976)
- [6] L. Hocker, Trink Bang Phi, *A. P. L.*, **29**, No. 8, p. 493(1976).
- [7] Charlotte E. Moore, "Atomic Energy Levels", **1**, 1949.

2660 埃激光的产生及应用

杨香春 杨天龙 舒海珍 张新因 叶 霖

(中国科学院上海光机所)

提 要

强紫外激光有着广泛的应用前景, 利用倍频技术产生紫外激光是重要的途径之一。我们进行了钽铝石榴石激光器倍频技术的研究, 用 KDP 和 ADP 两块非线性晶体进行两次倍频, 把 1.06 微米波长的红外激光转换成 2660 埃波长的紫外激光, 其总的能量转换效率大于 5%, 2660 埃激光的峰值功率大于 3 兆瓦, 重复频率 10 次/秒。此激光器用于育稻种和辐照链霉素优选菌种取得明显效果, 在其他方面, 应用潜力也很大。

为提高倍频转换效率, 我们测量了影响倍频的有关参量, 并与计算值做了比较。其实验装置如图 1 所示。高效率倍频, 一方面要求基波有良好的特性, 另一方面要选择合适的非线性晶体。1.06 微米的激光是用一台 YAG 振荡放大系统的激光器提供的, 激光器的振荡级采用双 45° LiNbO₃ 晶体进行调 Q, 选取瞬时加电压的工作方式, 得到小于 10 毫微秒脉宽的偏振输出, 为提高方向性,

采用平凸不稳定腔, 得到 0.7 毫弧度发散角的光束, 从有规则的输出花样判断, 只有很少的横模参与振荡。振荡级的激光经过两级放大, 得到 600 毫焦耳的 1.06 微米的激光输出。

倍频晶体要选择抗破坏强度高, 非线性系数大, 光学均匀性好, 有相匹配角, 最好是 90° 相匹配的非线性晶体。LiNbO₃、LiIO₃ 虽有大的非线性系数, 但破坏阈值较低, 在脉冲